

文章编号: 1001-2486 (2000) 04-0090-04

## H. 263 编码器中运动补偿的 MMX 加速\*

程翥, 楼生强, 皇甫堪

(国防科技大学电子科学与工程学院, 湖南 长沙 410073)

**摘要:** 分析了甚低码率视频压缩标准 H. 263 建议中运动补偿算法, 介绍了 MMX 技术的特点、数据结构和使用方法, 在此基础上用 MMX 技术实现了运动补偿算法。

**关键词:** H. 263; 运动补偿; MMX 技术; SIMD

**中图分类号:** TN919.3<sup>+</sup>1      **文献标识码:** B

## MMX Acceleration of Motion Compensation in H. 263 Coder

CHENG Zhu, LOU Sheng-qiang, HUANGFU Kan

(College of Electronic Science and Engineering, National Univ. of Defense Technology, Changsha 410073, China)

**Abstract:** We use the technology of MMX to realize the motion compensation algorithm of H. 263 based on the analysis of motion compensation in the H. 263 and the MMX instruction set.

**Key words:** H. 263; motion compensation; MMX; SIMD

1996 年 3 月, ITU-T 公布了甚低码率视频压缩的方案 H. 263 建议<sup>[1]</sup> (Video Coding for Low Bit-rate Communication), 该方案具有较高的压缩比和较高的图像质量, 旨在发展 PSTN 和移动通信网上的可视电话业务。测试模型表明, 在相同的信道条件下 H. 263 的 PSNR 较 H. 261 高 3~4dB。ITU-T 于 1998 年 2 月公布了该建议的最新方案——H. 263 Version 2 (即 H. 263+), 它在提高编码器总体性能, 尤其在抗信道干扰方面做了许多重要改进, 现已成为低码率多媒体通信终端系统中视频解决方案的标准。H. 263 视频编码器的整体框架如图 1, 主体部分是块变换、量化、变长编码和运动估计。

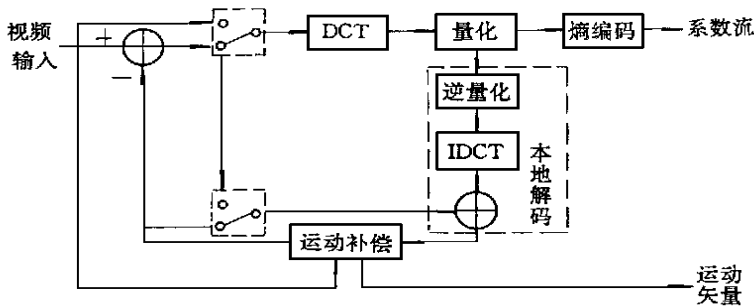


图 1 H. 263 编码器构成框图

Fig. 1 H. 263 coder structure

Intel 公司分析了大量的通信、语音图像处理等多媒体程序, 总结出它们的特点: 对大量的短数据重复运算, 开发出适合于多媒体应用的多媒体扩展指令集 (MMX) 技术, 可望在同主频的条件下提高多媒体处理能力 50%~800%。MMX 技术和信号处理技术的结合使 PC 机实时复杂信号处理成为可能。

1 H. 263 编码器中运动补偿<sup>[2]</sup>

运动补偿的基本思想是, 由于视频的连续性, 相邻帧之间有很大的相似性, 其中蕴含了大量的冗余信息。对于待编码帧的每一宏块, 在前一帧中搜索与之最相似的宏块 (匹配宏块), 记录下两宏块

\* 收稿日期: 2000-01-10

作者简介: 程翥 (1974), 男, 博士生。

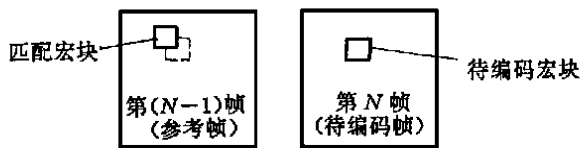


图 2 运动补偿中的宏块匹配

Fig 2 The macroblock matching in motion compensation

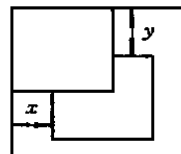


图 3 运动矢量的定义

Fig. 3 The definition of motion vector

之间的相对位移, 用  $(x, y)$  表示, 称为“运动矢量” (Motion Vector), 如图 2、3 所示。然后求出两宏块像素的差值, 再对该差值进行编码。解码时只需要运动矢量和宏块差值就能恢复出第  $N$  帧图像。一般情况下, 由于待编码宏块与参考宏块差异不大, 对其差值进行的 DCT、VLC 编码效率可以很高, 而运动矢量占用的比特在整个码流中的比例是很小的。运动补偿使得编码效率提高了许多, 然而其运算量也非常大, 主要消耗在匹配宏块的搜索上。运动补偿在整个编码器中所占的耗时比重约为 40%, 因而在很大程度上决定了编码器的实时性。匹配准则的确立对于运算量和 PSNR 等参数有着很大影响。从减小匹配误差的角度出发, 可选择 MSE (Mean Square Error) 准则。

$$\text{MSE}(x, y, k, l) = \frac{1}{N^2} \times \sum_{i,j=0}^{N-1} (F_{-1}(i+x, j+y) - F_0(i+k, j+l))^2 \quad (1)$$

其中:  $F_0$  和  $F_{-1}$  分别代表当前帧和重构帧 (参考帧);  $k, l$  为待编码宏块在当前帧中的坐标;  $x, y$  为重构帧中参考宏块的坐标;  $N$  表示宏块的尺寸, 此处为 16。对于 QCIF 格式的图像, 对所有的宏块 (允许交叠) 进行匹配运算, 在单指令单数据 (SISD) 的 CPU 上, 仅完成一帧内所有宏块的匹配就需要  $5.26 \times 10^8$  次操作。为了降低运算复杂度, ITU 一方面要求采用恰当的搜索策略, 一方面提出了 MSE 的一种替代准则——SAD (Sum of Absolute Difference)。与 MSE 准则相比, 它将像素差值的平方运算简化为绝对值运算, 显著减少了运算时的操作数。SAD 的定义如 (2) 式。

$$\text{SAD}(x, y, k, l) = \sum_{i,j=0}^{N-1} |F_{-1}(i+x, j+y) - F_0(i+k, j+l)| \quad (2)$$

式中符号意义同 (1) 式。SAD 实质上是在匹配精度与运算复杂度之间的一种折衷, 目前不少国际标准 (建议), 如 MPEG-1, H. 261 和 H. 263 均采用此准则。SAD 减少运算操作次数的依据是: 要表示一个 8 位的数的平方, 必须使用一个 16 位的寄存器, 而且在大多数的 CPU (DSP 和 MMX Pentium CPU 除外) 中, 乘积的高部和低部分别放在不同的寄存器中, 对乘积求和时会增加很多操作, 然而大多数的 CPU 都提供取绝对值的指令, 取绝对值不会引起存储器的扩展, 一般而言, SAD 的计算量要比 MSE 的计算量减少 1/3。我们对 100 帧分别采用了 SAD 和 MSE 的图像质量进行了比较, 证明采用 SAD 的图像与采用 MSE 的图像相差不超过 0.1dB。

## 2 MMX 技术

针对多媒体信号处理的特点, MMX 采用了单指令多数据 (SIMD) 技术, 即在单个指令执行过程中, 同时操作多个数据。通过 MMX 技术 Intel 解决了宽数据总线操作短数据时的带宽浪费, 可提高系统效率 1 至 8 倍<sup>[3,4]</sup>。为了同时操作多个短数据, 把短数据放在一个 64 位的寄存器中, MMX 定义了四种 64 位数据格式: 它们是由 8 个字节构成的字节组, 由四个 16 位的字构成的字组, 由两个 32 位双字构成的双字组, 由一个 64 位的四字构成的四字, 统称数据组数据类型。

为了操作这些新的数据类型, Intel 定义了 8 个 64 位的 MMX 寄存器, 这些寄存器只能由 MMX 指令操作, 同时这些寄存器又是浮点寄存器的别名, 操作系统运用 MMX 寄存器如同操作浮点寄存器一样, 在任务切换, 保护现场时, MMX 寄存器可以获得和浮点寄存器一样的保护, 从而保证了 MMX 技术出现之前的操作系统对 MMX 技术的兼容。MMX 的寄存器可操作 64 位的数据类型。MMX 指令使用

寄存器名 MM0 到 MM7 直接访问寄存器。MMX 寄存器仅能被应用于数值处理。

Intel 设计了 57 条 MMX 指令, 通过 MMX 寄存器以并行的方式操作全部的成组数据类型中的各数据元素。MMX 指令可以支持有符号和无符号数据元素的操作。特别的是为了适合数据处理的要求, MMX 技术首次在通用 CPU 中引入了溢出的饱和处理方式。饱和处理方式是指, 在运算结果出现上溢或下溢后, 在寄存器中保持极端值, 防止环绕式处理中的符号逆转, 减少有限字长的影响。是否采用饱和处理方式可由指令指定。

MMX 指令集包括: 数据转移指令, 算术运算指令, 比较运算指令, 转换运算指令, 逻辑运算指令, 移位运算指令, MMX 状态置空指令。MMX 的指令能够对被操作数据组各元素独立进行相同的操作, 在饱和方式下的加减, 可以根据指令指定数据有无符号而采用不同的饱和处理方式。特别的是数据组的乘法可以根据用户的需要取出 32 位积高 16 位或低 16 位或进行乘加。

MMX 技术充分利用了 CPU 的 64 位数据操作能力, 可以将程序效率提高 50% ~ 400%。但使用 64 位的数据转移和数值运算必需考虑数据对齐的问题<sup>[3,5]</sup>。在 pentium 处理器上, 对一个在高速缓存或总线上进行未对齐的数据访问将至少多耗费 3 个时钟周期, 为了达到较高处理效率, 8 字节数据必须以 8 字节为边界对齐。常量数据和较少的数据对齐通过复制原始数据来进行比较合适。对于较长的数据可以先按对齐方式把数据读入寄存器, 再在寄存器中进行拼接, 或者先将未对齐的首部处理掉, 以后的数据按对齐方式进行处理。在多组数据进行运算时, 尽可能选择小数据或固定数据用复制的方法进行对齐。

### 3 MMX 技术加速 H. 263 编码器

H. 263 编码器中的运动补偿是算法中运算量最大的模块。考察它的相近准则 (1)、(2) 可以看出, MSE 和 SAD 的计算主要是短数据的重复运算, 这种数据运算形式比较适合使用专门为多媒体程序开发的 SIMD MMX 指令实现, 充分发挥 Pentium 处理器的 64 位数据传送和运算性能, 提高运算速度。但是 MMX 技术的提速只是增加了系统的单个指令操作数据的数目, 不能提高单个指令的执行速度。为了适应 MMX 技术, 必须做一些辅助工作, 保证每个 MMX 指令在满足对齐规则的条件下操作尽可能多的数据。

MMX 的数据都应该以 64 位数据组形式存放, 根据 Intel 的对齐规则, 64 位数据必须以 8 字节为单位对齐, 而运动补偿的计算中任何一个数据 (除部分边界点) 都可能成为首字节, 因此所有字节都必须放在能够被 8 整除的地址上, 要充分利用 MMX 技术的性能必须将采样数据在内存复制八次, 如果用指令实现数据的搬移, 则需要大量的指令和时间才能完成数据搬移, 这个搬移的时间几乎可以与采用 MMX 技术得到的时间节省相当, 采用指令搬移数据是不行的。本文采用了直接内存存取 (DMA) 技术利用 CPU 的空闲机器周期完成了数据的复制。在 DMA 完成后进行运动补偿的运算。以下讨论总假设数据是对齐的。

MMX 技术没有提供数据组的绝对值指令, 求绝对值只能通过比较、取反等指令完成。首先将 mm1 清零, 把输入数据与 mm1 比较, 在 mm1 中对应输入数据中大于零的元素的位置置 00h, 小于零的置 FFh, 通过输入数据与 mm1 异或将输入数据中的负数取反, 再减去 mm1, 使负数的反加 1, 完成负数的补码取反。加上求和一步, 完成 MMX 数据组取绝对值求和需五步方可完成, 而数据组乘加只需一步, MSE 在 MMX 上实现的效率似乎比 SAD 在 MMX 上实现效率要高。MMX 只提供了字组 (16 位) 的乘和乘加指令, 要取节组的平方和应该将字节组拆成两个字组, 再分别乘加, 这样平方和也是五步。在指令层次上 MSE 和 SAD 的指令数是相当的。

SAD 算法的具体实现: 对于特定的  $k, l, x, y$ , 首先计算他们在内存中合适与数据对齐的对应地址, 在 ESI, EDI 中装入合适的指针地址, 在 ECX 中装入 8, mm3 中装入 0。

```
SAD:  movq mm0, qword ptr [ esi+ ecx* 8- 8] ; 装入  $F_{-1}(i+x, j+y)$ 
      movq mm1, qword ptr [ edi+ ecx* 8- 8] ; 装入  $F_0(i+x, j+y)$ 
      psubb mm0, mm1 ;  $F_{-1}(i+x, j+y) - F_0(i+x, j+y)$ 
```

```

pxor mm1, mm1           ; 取绝对值 step1
pcmpgtb mm1, mm0       ; 取绝对值 step2 比较
pxor mm0, mm1          ; 取绝对值 step3 负数取反
psubb mm0, mm1         ; 取绝对值 step4 负数+ 1
paddusb mm3, mm0       ; 饱和处理的累加
loop SAD

```

最后输出结果在 mm3 中。在此计算中 SAD 计算一共用去了  $9 \times 8 = 72$  个指令周期, 相比不使用 MMX 技术的算法需要  $64 \times 6 = 384$  个周期提速 5 倍有余。MSE 的实现与 SAD 实现相当, 不再赘述。

## 4 效果

考虑到 Pentium 系列处理器有两条并行执行管道, 消除相邻指令对同一寄存器的操作则可将运算速度再次提高一倍<sup>[3]</sup>。对于 SAD 算法, 程序运行速度又可以提高一倍, 对于 MSE 算法, 因为 MMX Pentium 只提供一个 MMX 乘法器, 乘加指令不能在两个执行管道并行执行, 消除相邻指令对同一寄存器的操作对 MSE 的速度提高较为有限。因此采用 MMX 技术对整个编码器速度提高见表 1, 对图像质量的影响如图 4, MMX 实现和非 MMX 实现稍有差别是因为处理流程不一样, 有限字长效应的影响不同。经过 MMX 优化, 运动补偿的计算量已经不是 H. 263 的主要部分。

表 1 运算速度比较  
Tab. 1 Speed comparison

测试序列	MMX <sup>TM</sup> SAD (s)	MMX <sup>TM</sup> MSE (s)	Non-MMX <sup>TM</sup> (s)
Miss America (83 帧)	4. 52	5. 37	8. 13
Carphone (280 帧)	17. 91	21. 06	29. 17
Grandma (800 帧)	43. 44	52. 72	75. 41

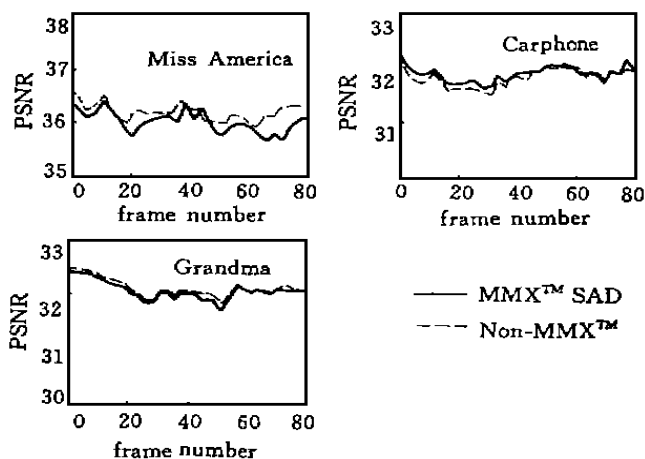


图 4 MMX 和非 MMX 图像质量比较

Fig. 4 PSNR comparison between MMX and non-MMX

## 参考文献:

- [1] ITU-T Recommendation H. 263 (1996), Video coding for low bit rate communication [S].
- [2] Zeng B, Li R X, Liou M L. Optimization of Fast Block Motion Estimation Algorithms [J]. IEEE Trans. Circuits and Systems for video tech., December 1997, 7 (6): 833-844.
- [3] Intel Architecture Software Developer Manual [R]. Volume 2: Instruction Set Reference Intel, 1997.
- [4] 程翥, 易波. 多媒体扩展指令集语音信号处理中的应用 [A]. 全国多媒体会议, 1998.